

纠缠光子的制备及性质

【实验概述】

随着 1960 年激光的问世，现代光学开始飞速发展，各种非线性光学和量子光学现象被发现。从二十世纪九十年代开始兴起的量子信息，将量子光学的研究推向了另一波高潮。从隐变量理论的否定到 EPR 纠缠的证实，从量子密钥分发到量子隐形传态，非经典量子光源都扮演者重要的角色。纠缠光子对在量子密钥分发、量子隐形传态、量子计算及量子中继等领域有着广泛的应用。

本实验系统基于准相位匹配 PPKTP 晶体的参量下转换过程，结合 Sagnac 干涉环结构，制备出高质量的偏振纠缠光子源，其所具有的高亮度、高稳定性等特性适用于远距离的量子保密通信、量子隐形传态等诸多方面。

【实验目的】

- 1) 了解量子叠加态和纠缠态的基本原理和性质，理解 Bell 不等式和 CHSH 不等式；
- 2) 了解基于准相位匹配 PPKTP 晶体产生纠缠光子对的原理，学习操作和使用量子光学实验中的基本器件；简要了解光纤传输和耦合的理论和技术和单光子测量技术；
- 3) 学习光子纠缠对比度的符合测量方法，并实验验证 Bell 不等式；
- 4) 观测纠缠态的量子特性，并体会其和经典物理现象的区别。

【实验原理】

1. 量子比特

在经典信息理论中，信息的基本单位是比特(bit)。它是利用二进制中的 0 或 1，来表示一种逻辑概念。在现代的计算系统，以及信息处理系统，包括电子化的信息记录，都是基于这样的一种逻辑上的 0 和 1。在实际操作中，我们通常是用高电平和低电平来实现逻辑上 0 和 1 的概念。

在量子信息中，信息的基本单位是量子比特(qubit)。与经典比特不同的是，量子比特不仅是由逻辑 0 和逻辑 1 构成，还可以处于由 0 和 1 构成的任意相干叠加态上：

$$|\varphi\rangle = \alpha|0\rangle + \beta|1\rangle$$

其中, α 和 β 均为复数, 并满足归一化条件: $|\alpha|^2 + |\beta|^2 = 1$. 当我们在基矢 ($|0\rangle, |1\rangle$) 下测量这个状态时, 将以概率 $|\alpha|^2$ 测得 $|0\rangle$, 以概率 $|\beta|^2$ 测得 $|1\rangle$.

量子比特的载体有很多, 如电子自旋、光子极化(即偏振)、路径、角动量等等. 光子的极化状态由于其在技术上容易进行处理, 而且光子的消相干弱, 因此光子极化常常被用来作为量子比特的载体. 我们可以分别定义光子的水平极化状态(0°)和垂直极化状态(90°)为量子比特的逻辑 $|0\rangle$ 和 $|1\rangle$, 或者干脆用 H(Horizontal)和 V(Vertical)代替 $|0\rangle$ 和 $|1\rangle$, 于是也可以记为:

$$|\varphi\rangle = \alpha|H\rangle + \beta|V\rangle,$$

在该光子传输路径上放置偏振片, 并通入单光子探测器观察响应情况便能够完成在基矢 ($|H\rangle, |V\rangle$) 下的测量, 在器件均理想的情况下, 我们能够发现该光子能够以概率 $|\alpha|^2$ ($|\beta|^2$) 透过水平(竖直)放置的偏振片, 引起探测器的响应.

上面我们讨论了叠加态在测量下的概率性, 除此之外, 它还有一个更为重要的性质, 即相干性. 这里我们用一个例子来叙述经典的概率叠加和量子相干性的区别. 假设我们有两个光子系综, 其一包含 45° 偏振的光子, 其二为 0° 和 90° 两种偏振光子的 1:1 概率混合, 接下来我们要对这两个系综在 45° 偏振下做测量. 对于第一个系综而言, 由于其中光子的偏振与 45° 偏振片的偏振方向平行, 会以 1 的概率透过, 使得探测器产生一个脉冲信号. 而对于第二个系综, 我们可以将 0° 和 90° 两种偏振光子分别在基矢 ($|+45^\circ\rangle, |-45^\circ\rangle$) 下展开, 即:

$$|H\rangle = \frac{1}{\sqrt{2}}(|+45^\circ\rangle + |-45^\circ\rangle), |V\rangle = \frac{1}{\sqrt{2}}(|+45^\circ\rangle - |-45^\circ\rangle),$$

我们可以发现, 无论是 $|H\rangle$ 还是 $|V\rangle$, 都将以 0.5 的概率透过 45° 偏振片, 引起探测器发出脉冲信号. 我们可以看出, 态的相干叠加(45° 偏振的光子)和概率混合在实验中有不同的物理效应, 量子态的这种相干性决定了其在诸多领域的应用, 例如量子计算、量子隐形传态等.

2. 纠缠态

上文所述的叠加态是对于单光子而言的, 当体系中包含两个 qubit 时, 我们可以用直积态描述体系的状态, 如果光子 A 处于状态 $|H\rangle$, 光子 B 处于状态 $|V\rangle$, 则可记为 $|H\rangle_A \otimes |V\rangle_B$, 或者 $|HV\rangle_{AB}$. 对于包含两个 qubit 的系统, 其任意的状态, 均可以由基矢 $(|HH\rangle_{AB}, |HV\rangle_{AB}, |VH\rangle_{AB}, |VV\rangle_{AB})$ 展开, 而纠缠态也属于其中, 这里我们举一个例子:

$$|\Psi^-\rangle_{AB} = \frac{1}{\sqrt{2}} (|HV\rangle_{AB} - |VH\rangle_{AB}),$$

这里的减号表示以 π 的相位差相干叠加.

为了说明这样一个状态在实验上所展现出的性质, 这里首先引入符合测量的概念. 这里我们的系统包含两个光子, 假设这两个光子分别发送给了 Alice 和 Bob, 他们分别让光子通过特定角度的偏振片, 之后进入探测器. 当 Alice 和 Bob 手中的探测器分别输出了一个脉冲信号, 且这两个脉冲信号落入同一个时间窗口(这时认为这两个脉冲信号是同时产生的), 则称产生了一个符合计数, 而这个测量的过程则成为符合测量.

对于上面引入的纠缠态, 我们易知, 理想状态下, 必定只会存在 Alice 测到 H, Bob 测到 V 的符合计数, 以及 Alice 测到 V, Bob 测到 H 的符合计数; 一定不会存在 Alice 和 Bob 同时测到 H, 或者同时测到 V 的符合计数. 实际制备的量子态并非完全理想, 因此必定存在一些 HH 和 VV 的符合计数, 但是我们会发现 HH 和 VV 的符合计数一定比 HV 和 VH 的符合计数小很多.

但是, HV 和 VH 的符合计数远大于 HH 和 VV 的符合计数不能代表我们已经得到了量子纠缠态, 因为经典的概率混合也可以造出这样的系统, 而相干性则成为了辨认纠缠态的关键. 为了对比经典概率混合和相干叠加的区别, 同样地, 我们可以将态在基矢 $(|+45^\circ\rangle, |-45^\circ\rangle)$ 下展开, 为了简便, 下文均记为 $(|+\rangle, |-\rangle)$.

对于直积态 $|\Psi\rangle_{AB} = |HV\rangle_{AB}$:

$$\begin{aligned} |\Psi\rangle &= |H\rangle_A |V\rangle_B \\ &= \frac{1}{2} (|+\rangle + |-\rangle)_A (|+\rangle - |-\rangle)_B \\ &= \frac{1}{2} (|+\rangle_A |+\rangle_B + |-\rangle_A |+\rangle_B - |+\rangle_A |-\rangle_B - |-\rangle_A |-\rangle_B) \end{aligned}$$

理想状态下, 我们能够发现在 $(|++\rangle_{AB}, |+-\rangle_{AB}, |-+\rangle_{AB}, |--\rangle_{AB})$ 基矢下测量得到

四种结果的概率均为 0.25, 对于其它三个直积态亦是如此. 对于纠缠态, 我们可以用类似的方法展开, 得到

$$\begin{aligned} |\Psi^-\rangle &= \frac{1}{\sqrt{2}} (|H\rangle_A |V\rangle_B - |V\rangle_A |H\rangle_B) \\ &= \frac{1}{2\sqrt{2}} [(|+\rangle + |-\rangle)_A (|+\rangle - |-\rangle)_B - (|+\rangle - |-\rangle)_A (|+\rangle + |-\rangle)_B] \\ &= \frac{1}{\sqrt{2}} (|-\rangle_A |+\rangle_B - |+\rangle_A |-\rangle_B). \end{aligned}$$

这时我们发现, 理想情形下, 我们只有在基矢 $|+-\rangle_{AB}$ 和 $| - + \rangle_{AB}$ 下才能测得的符合计数, 而无法观察到基矢 $|++\rangle_{AB}$ 和 $|--\rangle_{AB}$ 下的符合计数, 这便是量子相干性在实验中所体现出的重要现象, 而这也正是纠缠态核心的性质之一.

从上述结果可以看出, 在特定的测量基矢下, 处于纠缠态的两个粒子能够展现出关联性质, 这种性质是一种非经典关联. 实验上我们用**极化关联曲线**来描述纠缠双方用不同的基矢测量所反应出来的关联性质. 具体做法是, Alice 和 Bob 其中一方固定测量一个极化方向, 而另一方测量 0 到 360°各个值的符合计数, 从而画出一条曲线. 典型的两条极化关联曲线是 Alice 分别选定 H(0°)和+(45°), Bob 测量 0°到 360°所得到的曲线. Alice 分别选择测量角度为 0°和 45°时得到的关联曲线的极大值和极小值的比值即为我们之前所说的选 H/V 或者+/-基矢的对比度.

注: 事实上对于 2-qubit 的系统, 我们也可以以一组纠缠态作为基矢, 这里将构成一组基矢的四个 Bell 态列举如下:

$$|\Phi^+\rangle_{AB} = \frac{1}{\sqrt{2}} (|HH\rangle_{AB} + |VV\rangle_{AB}),$$

$$|\Phi^-\rangle_{AB} = \frac{1}{\sqrt{2}} (|HH\rangle_{AB} - |VV\rangle_{AB}),$$

$$|\Psi^+\rangle_{AB} = \frac{1}{\sqrt{2}} (|HV\rangle_{AB} + |VH\rangle_{AB}),$$

$$|\Psi^-\rangle_{AB} = \frac{1}{\sqrt{2}} (|HV\rangle_{AB} - |VH\rangle_{AB}).$$

3. Bell 不等式与 CHSH 不等式

量子态相干叠加导致的非经典关联使得爱因斯坦等科学家感到疑惑. 1935 年, A. Einstein, B. Podolsky 以及 N. Rosen 三人(EPR)对量子力学中的概率性以及非定域性提出了质疑. 他们认为, 量子态在被测量时所谓的随机塌缩并不是真随机, 而是由运动方程决定, 只不过和测量结果相关的变量(物理实在)我们目前尚未发现, 也称为隐变量, (物理实在假设); 一个完备的物理理论应当能够给出所有物理实在的完全描述(完备物理理论的定义假设). 基于以上两个假设, 他们得出了量子力学不完备的结论. 除此之外, 纠缠展现出的非定域性关联也让他们困惑, 但这一点在引入隐变量后可以得到解决.

尽管关于量子力学完备性的问题自从其提出, 便一直受到广泛关注, 但一直都没有人尝试从实验上验证. 直到 1964 年, John H. Bell 提出了广为人知的 Bell 不等式, 为该问题的实验验证给出了明确的数学化描述, 这里仅简要介绍.

对于一个 qubit 而言, 我们总是可以选择一对正交基矢取测量它, 一个一般性的构造方法是构造矩阵 $n_x \sigma_x + n_y \sigma_y + n_z \sigma_z$, 其中 σ_i ($i = x, y, z$) 为 Pauli 算符, (n_x, n_y, n_z) 为模 1 向量, $n_x \sigma_x + n_y \sigma_y + n_z \sigma_z$ 可以简写为 $\mathbf{n} \cdot \boldsymbol{\sigma}$, 该矩阵的本征值为 +1 和 -1, 它的两个本征态即为一对正交的测量基矢. 我们也可以通过该量子态塌缩到这两个基矢方向的概率, 轻易地计算出可观测量 $\mathbf{n} \cdot \boldsymbol{\sigma}$ 在该量子态下的期望值.

Bell 为了能够定量分析问题, 引入隐变量 λ , 概率分布与输入测量装置的量子态有关, 为 $\rho(\lambda)$, 满足 $\int \rho(\lambda) d\lambda = 1$, 则对于给定的 \mathbf{n} , 可观测量 $\mathbf{n} \cdot \boldsymbol{\sigma}$ 的单次测量结果 $E(\mathbf{n}, \lambda) = \pm 1$ 由隐变量决定, 其期望值为:

$$E(\mathbf{n}) = \int E(\mathbf{n}, \lambda) \rho(\lambda) d\lambda$$

对于一个两粒子系统同理, 存在一个全局的隐变量 λ , 有

$$E(\mathbf{e}_1, \mathbf{e}_2) = \int \rho(\lambda) E(\mathbf{e}_1, \lambda) E(\mathbf{e}_2, \lambda) d\lambda.$$

从这样一个假设出发, 引入 Bell 态 $|\Psi^-\rangle$, 为了与量子力学的基本结论一致, 此时

$E(\mathbf{n}, -\mathbf{n}) = -1$. 在此前提下, Bell 得出结论, 对于任意方向 $\mathbf{a}, \mathbf{b}, \mathbf{c}$, 有

$$|E(\mathbf{a}, \mathbf{b}) - E(\mathbf{a}, \mathbf{c})| \leq 1 + p(\mathbf{b}, \mathbf{c}).$$

如果量子力学正确, 则该不等式可以被违背. 对于态 $|\Psi^-\rangle$, 我们有

$$E(\mathbf{e}_1, \mathbf{e}_2) = \langle \Psi^- | (\mathbf{e}_1 \cdot \boldsymbol{\sigma}) \otimes (\mathbf{e}_2 \cdot \boldsymbol{\sigma}) | \Psi^- \rangle = -\mathbf{e}_1 \cdot \mathbf{e}_2 = -\cos \langle \mathbf{e}_1, \mathbf{e}_2 \rangle.$$

若有 $\mathbf{a} \perp \mathbf{b}$ 且 \mathbf{c} 与 \mathbf{a} 间夹角为 θ , 则 Bell 不等式左边为 $\cos \theta$, 而右边则是 $1 - \sin \theta$, 于是 Bell 不等式等价于 $\sin \theta + \cos \theta \leq 1$, 显然存在 θ 破坏该不等式.

Bell 不等式对于量子力学发展有着深远的影响, 但是这个开创性的工作在实验领域并不容易实现, 其原因在于: 该不等式的推导利用了 $|\Psi^-\rangle$ 完全反关联的性质, 而我们在实验上无法精确地制备出这样一个态, 这就导致我们无论如何优化实验, 都是与原不等式的假设有所偏差. 针对这一问题, CHSH 不等式作为 Bell 不等式的推广, 于 1969 年被提出了, 下面我们采取一种最简单的方法引入 CHSH 不等式. 首先引入记号 $A_1 = \mathbf{a}_1 \cdot \boldsymbol{\sigma}$, 对 A_2, B_1, B_2 定义类似, 这四个可观测量的可能取值均为 ± 1 . 我们考察

$$\mathcal{B}_{\text{CHSH}} = A_1 \otimes (B_1 + B_2) + A_2 \otimes (B_1 - B_2)$$

通过分析可知(四个可观测量分别取 ± 1 遍历), 对于每个单次测量而言, $\mathcal{B}_{\text{CHSH}} = \pm 2$. 则无论输入怎样的 2-qubit 态, 都有 $|\mathcal{B}_{\text{CHSH}}| \leq 2$, 即

$$|E(\mathbf{a}_1, \mathbf{b}_1) + E(\mathbf{a}_1, \mathbf{b}_2) + E(\mathbf{a}_2, \mathbf{b}_1) - E(\mathbf{a}_2, \mathbf{b}_2)| \leq 2,$$

这就是 CHSH 不等式. 该不等式并没有假设任何具有特殊性质的量子态, 对于实验而言, 只要我们能够制备一个两光子态, 选取一定的基矢(即使存在误差), 观测到违背即可论证量子力学的正确性.

本实验中, 我们利用通过 PPKTP 晶体准相位匹配产生的纠缠光子对完成 CHSH 不等式违背的验证. 实验中我们需要测量的即 $E(\mathbf{a}_1, \mathbf{b}_1), E(\mathbf{a}_1, \mathbf{b}_2), E(\mathbf{a}_2, \mathbf{b}_1), E(\mathbf{a}_2, \mathbf{b}_2)$ 这四个可观测量(这里也可以称为关联系数), 它可以通过在两个光子路径上放入不同角度的偏振片, 记录透过偏振片光子的符合计数实现. 对于 $E(\mathbf{a}_i, \mathbf{b}_j)$, \mathbf{a}_i 和 \mathbf{b}_j 表示光子 1 和光子 2 的测量基矢方向, 实验中一组测量基矢对应偏振片的两个角度 θ 和 θ^\perp (本征值 $+1$ 和 -1), 这里将 \mathbf{a}_i 和 \mathbf{b}_j 对应的角度分别记作 θ_{ai} 和 θ_{bj} . 为了得到关联系数

$$E(\mathbf{a}_i, \mathbf{b}_j) = \langle \psi | (\mathbf{a}_i \cdot \boldsymbol{\sigma})_1 \otimes (\mathbf{b}_j \cdot \boldsymbol{\sigma})_2 | \psi \rangle,$$

我们需要记录四种偏振片角度组合的符合计数率, 从而得到

$$E(\mathbf{a}_i, \mathbf{b}_j) = \frac{C(\theta_{ai}, \theta_{bj}) + C(\theta_{ai}^\perp, \theta_{bj}^\perp) - C(\theta_{ai}, \theta_{bj}^\perp) - C(\theta_{ai}^\perp, \theta_{bj})}{C(\theta_{ai}, \theta_{bj}) + C(\theta_{ai}^\perp, \theta_{bj}^\perp) + C(\theta_{ai}, \theta_{bj}^\perp) + C(\theta_{ai}^\perp, \theta_{bj})}.$$

其中 $C(\theta_{ai}, \theta_{bj})$ 表示两个偏振片分别为 θ_{ai} 和 θ_{bj} 时的符合计数率. 这里以实验中所制备出的态 $|\Psi^+\rangle_{AB}$ 为例, 当 $\theta_{a1} = 0^\circ, \theta_{a2} = 45^\circ, \theta_{b1} = 22.5^\circ, \theta_{b2} = -22.5^\circ$ 时, CHSH 不等式左侧能够取到极大值 $2\sqrt{2}$.

4. PPKTP 晶体准相位匹配和纠缠光子对的制备

目前一般利用非线性过程产生纠缠光子对. 线性过程和非线性过程均涉及介质的极化. 线性过程中光场与极化通过一个二阶张量 ϵ_{ij} 相联系, 即 $P_i = \epsilon_{ij} E_j$ (重复指标自动求和), 可以看到, 在线性过程中介质的极化频率和输入电场频率一致, 由此可知该过程中介质并不会对光场频率造成影响. 对于非线性过程, 我们需要考虑极化的更高阶影响, 此时需要引入更高阶的张量描述该过程. 这里以二阶非线性效应为例, 引入张量 χ_{ijk} , 则极化强度矢量为 $P_i = \chi_{ijk} E_j E_k$, 计算中我们缩去了两个指标, 这标志着电矢量的相乘, 这个过程必然存在频率的加减, 从而产生频率的转换.

本实验中, 我们主要利用一种二阶非线性效应产生纠缠光子对. 在该过程中, 入射的光子(称为泵浦光子, 频率 ω_p)会自发劈裂成两个沿与入射光子同方向传输, 频率相同的低能量光子, 分别称为信号(signal)光和闲频光(idler), 频率为 $\omega_i = \omega_s = \omega_p/2$. 该过程称为共线且简并的 2 型自发参量下转换过程(**Spontaneous Parametric Down-Conversion**), 参量表示该过程能量守恒; 下转换表示该过程使光子能量变低; 该过程没有种子光激发, 属于自发过程; 2 型为 SPDC 的修饰词, 表示出射的两个下转换光子偏振相互垂直.

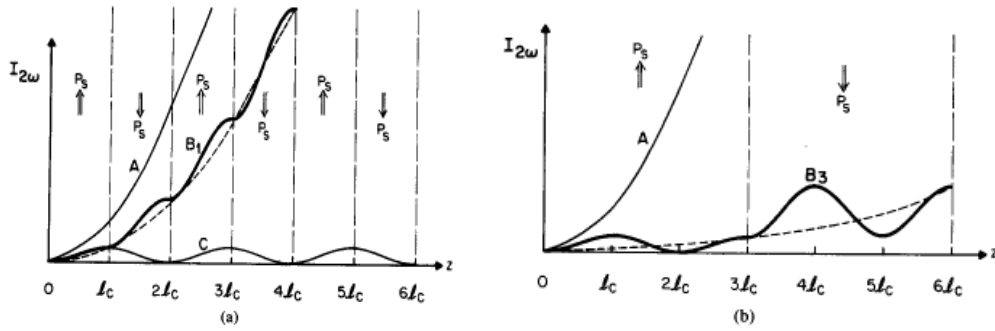
该过程显然需满足能量守恒, 除此之外, 还需满足动量守恒(即相位匹配条件) $\Delta k = k_p - k_s - k_i = 0$, 于是有 $2n_p = n_s + n_i$. 也就是说, 给定特定波长 ω_p , 我们需要利用各向异性介质的色散关系, 在晶体中找到满足动量守恒所要求的折射率关系的方向, 按此切割晶体. 但当 $\Delta k \neq 0$ 并不意味着该过程不会发生, 本质上而言, 不满足相位匹配条件的能量守恒过程也会发生, 但由于非线性过程在晶体内泵浦光所及之处均等概率发

生, 当晶体较厚时, 只有满足相位匹配条件的方向才能保证在泵浦光所经各处的 SPDC 光子干涉相长, 以较大强度出射晶体. 事实上, 出射光强表达式中包含如下和光栅方程的类似的一项

$$I \propto \text{sinc}^2 \frac{l \Delta k}{2}$$

其中 l 为晶体长度. 可见相位失配时, 泵浦光入射后仍能产生 SPDC 光子, 但随着晶体长度增加, 信号光的光强呈现周期震荡, 在 $l \Delta k / 2 = \pi / 2$ 时信号光达到最强, 我们定义此时晶体长度为相干长度 l_c . 相位匹配条件满足时, 光强的表达式中震荡项消失, 信号光光强随晶体长度增长而变强.

因此一般而言, 我们需要按照相位匹配条件切割晶体, 但还存在一种方法, 在相位匹配条件不满足时仍能达到同样效果, 称为准相位匹配(Quasi-Phase-Matching)



如上图 a 所示, 曲线 A 表示相位匹配的情况, 此时随着作用距离的增长, 信号光光强不断增加; 曲线 C 表示相位不匹配的情况, 此时随着作用距离的增长, 信号光光强周期性地振荡. 曲线 B 则是准相位匹配的结果, 它使得信号光持续增长, 但是事实上它却并没有实现相位匹配, 因此称之为准相位匹配. 准相位匹配的做法是周期性地改变非线性晶体的取向, 在信号光达到最强即将下降时, 改变非线性极化率的符号, 从而使得信号光光强继续增长, 从图中可见, 极化周期等于两个相干长度. 图 b 每 3 个相干长度改变一次极化方向的结果, 在前 3 个相干长度中, 信号光的生长符合相位不匹配的情况的振荡情况. 在 4~6 个相干长度中, 极化方向改变, 信号光再次振荡 1.5 周期, 只是此时起始光强更大. 这样同样可以实现信号光的增加, 但效率有所下降.

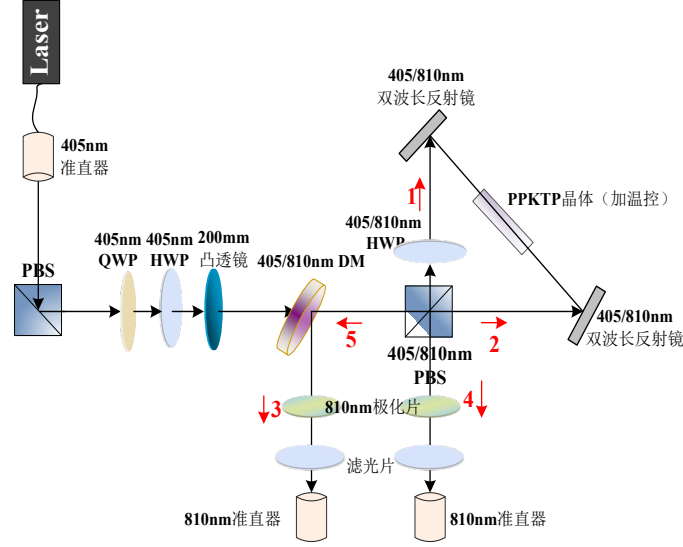
这里我们引入准相位匹配条件

$$\Delta k = k_p - k_s - k_i - \frac{2\pi}{\Lambda} = 0$$

其中, Λ 为极化周期.

本实验系统利用准相位匹配晶体 PPKTP 结合 Sagnac 干涉仪，产生偏振纠缠光子对，实验装置简洁、紧凑、稳定，且光子源的亮度较高。纠缠源具体制备原理如下：

PPKTP 晶体经泵浦产生一对共线参量光子，比如用 H 极化泵浦，产生 H 偏振的信号光和 V 偏振的闲频光，参量光子间无直接纠缠。



将 PPKTP 晶体和 Sagnac 环结合，即可产生高亮度的偏振纠缠源，下面给出详细分析。泵浦光被由极化分束器(PBS)反射只剩下 V 分量，再由半波片将 V 极化的泵浦光置于 45°极化，之后再次入射极化分束器(PBS)，H 分量透射，V 分量反射。透射部分直接进入 PPKTP 晶体，以一定概率打出一对信号光(H)和闲频光(V)，经 45 度半波片后极化翻转，分别记为 $|V_s\rangle$ 和 $|H_i\rangle$ ；反射部分泵浦光经过 45 度半波片变换为 H，同样以一定概率打出一对信号光(H)和闲频光(V)，分别记为 $|H_s\rangle$ 和 $|V_i\rangle$ 。透射和反射的泵浦光由于光强相同，所以泵出一对光子的概率也相同。透射(反射)泵浦光所产生的下转换光子分别沿 Sagnac 环逆时针(顺指针)再次进入 PBS，经 PBS 变换，信号光进入路径 3，闲频光进入路径 5，记为 $|V_s\rangle_3|H_i\rangle_5$ ($|H_s\rangle_3|V_i\rangle_5$)。由于光子的全同性，当在 3 和 5 端口观测到符合计数时，我们无法分辨下转换光子的顺(逆)时针，此时在 3 和 5 路径上，两个光子便处于纠缠态

$$|\Psi^+\rangle_{35} = \frac{1}{\sqrt{2}} (|V_s\rangle_3|H_i\rangle_5 + |H_s\rangle_3|V_i\rangle_5).$$


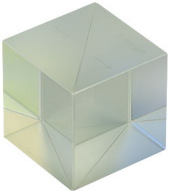







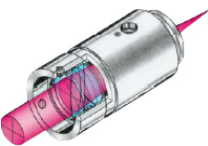

这里我们可以看到，进入路径 3(5)的光子均为信号(闲频)光，这样的 Sagnac 结构能够避

免由于光谱不同产生的纠缠干涉对比度下降. 另外由于 Sagnac 干涉环的两臂重合, 故此结构能够保证即便较长距离的干涉, 光子的波包也能较好的重合.

【实验装置】

本套实验装置已经搭建完成, 实验时只需调节波片以及偏振片观察符合计数, 一定不要调节任何与耦合器/反射镜/PBS 相关的镜架.

1. 光器件

		
激光器	偏振分束器	波片
		
透镜	二向色镜	双波长反射镜
		
PPKTP 晶体	滤波片	极化片
		
准直器	光纤跳线	

激光器: 半导体激光器, 最大输出功率约 100mw, 输出功率可调, 中心波长 405nm, 保偏尾纤耦合, 接可调焦距准直器输出.

偏振分束器(PBS): 包含 405nm 和 405&810nm 双波 PBS, 反射 V 光, 透射 H 光.

波片: 包含 405nm $\lambda/4$ 波片(QWP)和半波片(HWP)以及 405&810nm 双波长半波片.

透镜: 对泵浦光进行聚焦, 和前端光纤准直器配合, 实现光束聚焦. 此实验系统中, 光束模式匹配对于纠缠光子的产生和收集都有非常重要的影响.

二向色镜: 定制元件, 透射 405nm, 反射 810nm. 用于泵浦光和下转换光分离.

双波长反射镜: 定制元件, 反射 405nm 和 810nm 波长.

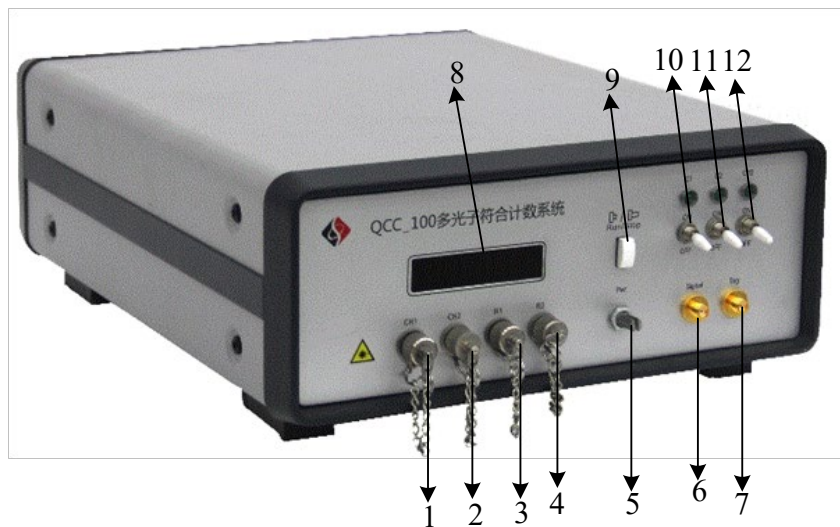
PPKTP 晶体: 为系统的核心, 泵浦光经 PPKTP 以小概率发生自发参量下转换过程. 未发生参量下转换过程的大部分泵浦光(405nm 激光)经 PPKTP 后方向不变, 这部分光不再需要, 通过滤波片滤除.

滤波片: 滤除 405nm 的泵浦光及外界杂散光, 减少本底噪声.

极化片: 测量器件, 旋转极化片到 θ 角, 就可直接测量光束在 θ 方向的投影.

准直器&光纤跳线: 准直器将空间中的纠缠光子耦合至光纤, 从而传输到单光子探测器, 便于单光子探测器对收集到的光子数进行统计.

2. 电子学设备



1/2 为光接收端, 3/4 为预留光接口. 通过光纤跳线将两个耦合器收集到的光子传输到单光子探测器. 探测器将光脉冲信号转换成电脉冲信号, 从而让符合电路进行甄别与符合计数. 5 为甄别电压调节, 达到甄别电平的电脉冲才被计数. 6/7 为预留电子学接口, 为电子学硬件测试和以后功能扩展预留. 8 为八段数码管, 用于实时显示探测到的光子数(每秒钟统计一次). 9 为 Run/Stop 开关, 控制计数器是否进行计数. 10/11/12 为显示切换开关, 10 为 ch1 和 ch2 的计数和, 11 为偶然符合计数, 12 为符合计数.

【实验流程】

1. 开启激光器电源, 钥匙旋转至 ON 使激光器出光, 调节功率至 030.

2. 打开符合计数器，将模式切换至符合计数。首先将两个偏振片置于 $90/0$ 以及 $0/90$ ，观察 HV 和 VH 的计数，并记录。
3. 将两个偏振片分别置于 $\pm 45^\circ$ 的四种组合，调节前端 405nm 四分之一波片和半波片，使得偏振片均为 $+45^\circ$ 和均为 -45° 时符合计数为大值，两偏振片角度不同时为小值，两大值和/两小值和应当大于 10。固定这两个波片的度数。
4. 根据 CHSH 不等式，测量所需的符合计数，观察并记录，计算实验结果以及标准偏差，以三倍标准偏差违背不等式。
5. 测量关联曲线，将其中一个偏振片置于 0 和 45 度，旋转另一个偏振片，测量两条关联曲线(每条曲线间隔 10 度取一个点，即 19 个点)。
6. 关闭探测器；激光器功率调至最小，之后将钥匙置于 off，关闭电源。

【注意事项】

★不要用眼睛直视激光，不要让手被聚焦的蓝紫激光灼伤。

★切忌用手直接接触镜片表面，防止油渍沾到镜片上(装镜片时，手只能接触磨砂面)。也不要用水吹镜片上的灰尘，防止水汽污染镜片表面。如果镜片只是稍微有点灰尘，可以用专用的吹气球吹掉镜片表面的灰尘。

★打开探测器模块时应保证输入口接入光纤，不要让强光直接进入单光子探测器，防止烧坏单光子探测器。

【思考题】

1. 实验原理部分给出的 CHSH 不等式最大违背条件下有 $\mathcal{B}_{\text{CHSH}} = 2\sqrt{2}$ ，给出详细计算过程。
2. 根据实验数据分析，该实验中我们制备的纠缠态是四个 Bell 态中的哪一个？(需给出分析的过程)
3. 实验中需调节 405nm 泵浦光路径上的四分之一波片和半波片，其作用是什么？
4. 如果我们实验中制备的态是 HV 和 VH 的概率叠加，测到的关联曲线会是什么样子？尝试计算此时 CHSH 不等式违背情况。结合本问题谈谈 Sagnac 环在实验中起到的作用。

5. 调研双光子干涉现象(Hong-Ou-Mandel interference); 该现象是由于光子的波色统计特性, 如果用费米子做同样的实验会有怎样的现象. (选做)

【拓展阅读材料】

1. PPKTP entanglement source: T. Kim, M. Fiorentino, and F.N.C.Wong, *Phase-stable source of polarization-entangled photons using a polarization Sagnac interferometer*, Phys. Rev. A **73**,012316 (2006).
2. Original paper of Bell inequality: https://cds.cern.ch/record/111654/files/vol1p195-200_001.pdf
3. Hone-Ou-Mandel interference: http://en.wikipedia.org/wiki/Hong-Ou-Mandel_effect
4. A famous textbook for quantum information: Michael A. Neilson, Isaac L. Chuang, *Quantum Computation and Quantum Information*, (Cambridge University Press, Cambridge, England, 2000).
5. 张永德, 量子信息物理原理, 科学出版社, 2005.